

# misure a $e^+e^- \rightarrow Z$

Precision Electroweak Measurements on the Z resonance, Cap. 1, 2, 3, 7, 8

Le misure principali che si possono fare sono:

- sezione d'urto  $e^+e^-$  in funzione dell'energia
- massa e larghezza dello Z (e del W)
- larghezze parziali dello Z
- asimmetrie (dovute alla violazione della parità)
- sez. d'urto polarizzate

Tutte queste quantità possono essere interpretate in termini di masse ed accoppiamenti dei vari fermioni interessati.

Nell'ambito del Modello Standard, una volta definite le masse e l'angolo di Weinberg, le relazioni sono completamente definite al *tree level*, e, grazie alla rinormalizzabilità della teoria, in linea di principio calcolabili a tutti gli ordini

# le misure di base

Le sezioni d'urto di un determinato processo sono misurate attraverso la formula:

$$\sigma = \frac{N_{\text{sel}} - N_{\text{bg}}}{\epsilon_{\text{sel}} \mathcal{L}}$$

dove l'efficienza di selezione e il numero di eventi di fondo sono determinati da simulazioni Montecarlo (GEANT) che riproducono completamente la risposta dei rivelatori fino alla digitalizzazione degli eventi e che vengono poi processate dallo stesso codice di ricostruzione utilizzato nell'analisi dei dati.

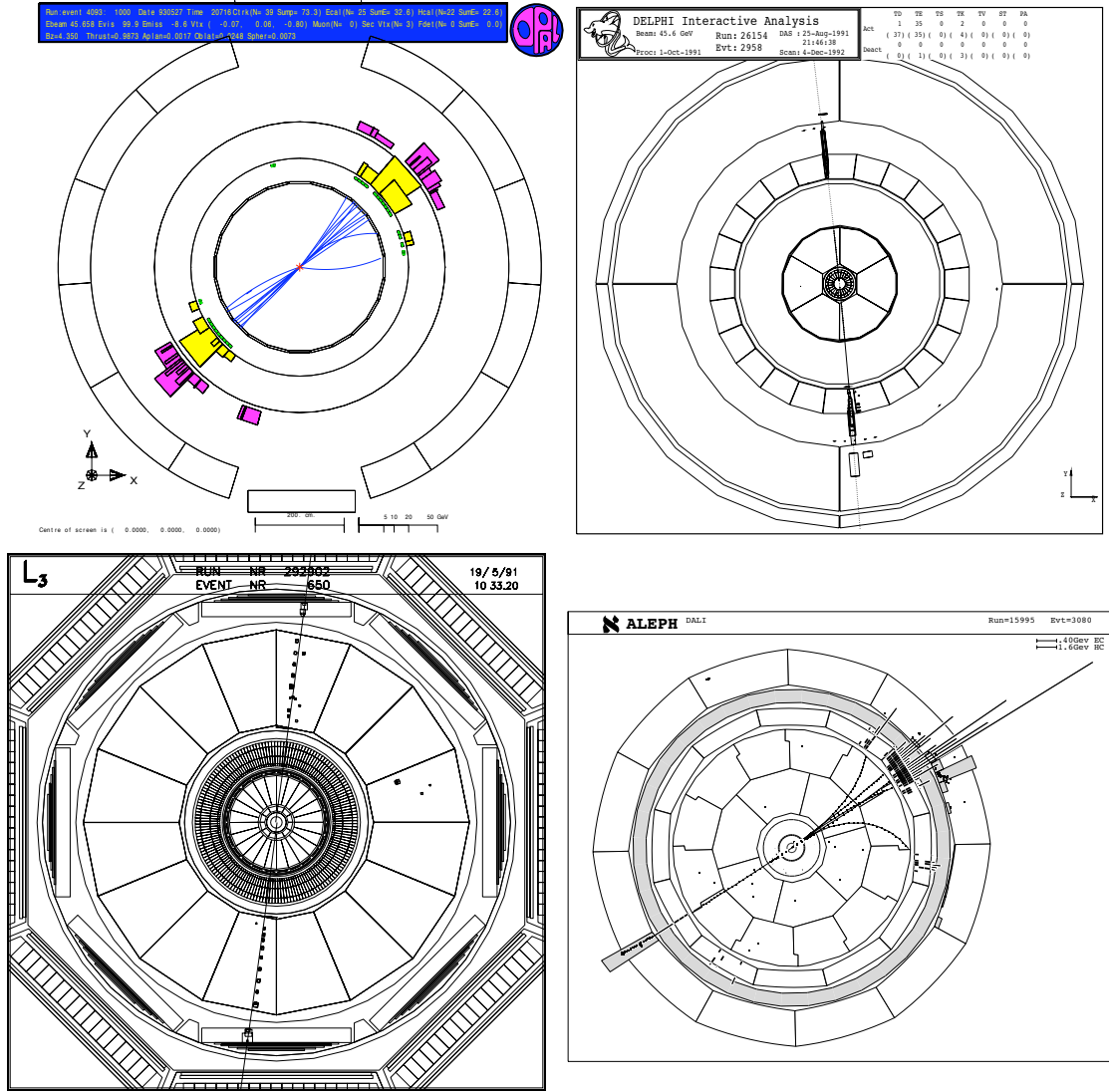
La struttura V-A si manifesta tipicamente in asimmetrie delle distribuzioni angolari rispetto alla direzione dei fasci

per esempio  $A_{\text{FB}} = \frac{N_{\text{F}} - N_{\text{B}}}{N_{\text{F}} + N_{\text{B}}}$  rappresenta la differenza tra il numero di fermioni (rispetto agli antifermioni) emessi nella direzione del fascio di elettroni.

Ad SLC si può misurare anche  $A_{\text{LR}} = \frac{N_{\text{L}} - N_{\text{R}}}{N_{\text{L}} + N_{\text{R}}} \frac{1}{\langle \mathcal{P}_e \rangle}$

differenza tra il numero di eventi prodotti da fasci di elettroni polarizzati left e right, normalizzata alla polarizzazione media, pesata per la luminosità.

# Decadimenti di Z a LEP

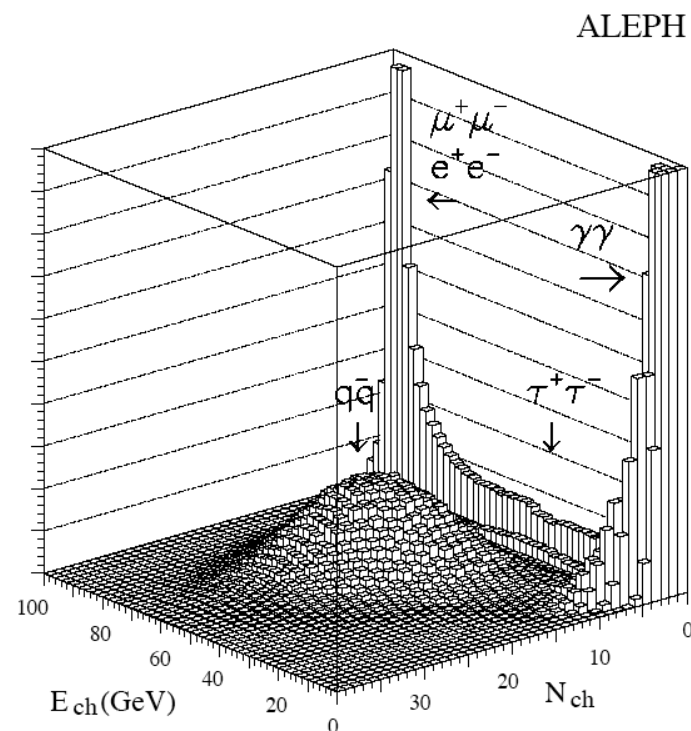


# selezione degli eventi

la selezione degli eventi è in genere semplice, e i fondi sono al livello del percento o meno.

Le efficienze di selezione sono tipicamente superiori al 95%.

i decadimenti leptonici sono in totale circa 3/20 dei decadimenti adronici.



# le misure di luminosità

per la determinazione dei parametri, la misura delle sez. d'urto è fondamentale. Questo comporta l'esigenza di precise misure di luminosità, basate sullo scattering Bhabha a piccolo angolo (20-60 mrad, canale t, processo puramente elettromagnetico). Il contributo maggiore all'indeterminazione viene dalla accettazione geometrica dei rivelatori (poiché la sezione d'urto diminuisce fortemente con  $\theta$ , è critica soprattutto la definizione dell'angolo minimo). Il numero di eventi di luminosità è maggiore del numero di eventi Z, per cui l'errore statistico è piccolo. Gli errori sistematici sono stimati al livello del permille, con un errore teorico comune di 0.5 ‰.

# I parametri

Abbiamo già visto a suo tempo come, per motivi di precisione, sia conveniente usare come parametri liberi  $G_F$ ,  $\alpha$  e  $M_Z$

La prima considerazione da fare è che il preciso valore di  $\alpha = 1/137.036$  si ricava dalla misura del momento magnetico dell'elettrone e da altre misure di bassa energia.

Negli esperimenti alla risonanza dello Z, è necessario usare  $\alpha(M_Z)$ . Il valore calcolato è  $\alpha(M_Z)^{-1} = 127.92$ , in cui entrano anche i contributi adronici alla polarizzazione del vuoto, e tramite questi, una dipendenza da  $\alpha_s$ .

Riprendiamo il semplice conto fatto a suo tempo:

Conoscendo  $v$ ,  $e$  e  $\vartheta_w$  si possono calcolare  $g$ ,  $g'$ ,  $M_Z$  e  $M_W$ .  
Per usare le costanti misurate con maggior precisione,  
conviene usare  $G_F$ ,  $\alpha$  e  $M_Z$ .

$$e = \sqrt{4\pi\alpha} = g \sin \vartheta_w \quad v = \sqrt{\frac{1}{G_F \sqrt{2}}}$$

$$M_Z = \frac{g}{2 \cos \vartheta_w} v = \frac{g}{2 \cos \vartheta_w} \sqrt{\frac{1}{G_F \sqrt{2}}}$$

$$M_Z = \frac{\sqrt{4\pi\alpha}}{2 \cos \vartheta_w \sin \vartheta_w} \sqrt{\frac{1}{G_F \sqrt{2}}}$$

$$\cos \vartheta_w \sin \vartheta_w = \frac{1}{M_Z} \sqrt{\frac{\pi\alpha}{G_F \sqrt{2}}} = \frac{\sqrt{\frac{\pi\alpha_0}{G_F \sqrt{2}}}}{M_Z (1 - \Delta r_0)^{\frac{1}{2}}}$$

$$\Delta r_0 = 1 - \frac{\alpha_0}{\alpha(M_Z)} = 0.0665$$

$$\alpha_0 = \frac{1}{137.036} \longrightarrow \alpha(M_Z) = \frac{1}{127.92}$$

$$G_F = 1.16637(1)$$

$$M_Z = 91.187(2)$$

da cui si ricava

~~$$\sin^2 \vartheta_w = 0.2121 \quad \sin^2 \vartheta_w = 0.2336$$~~

~~$$M_W = 80.939(2) \quad M_W = 79.82$$~~

contro un valore sperimentale

$$M_W = 80.40(3)$$

la correzione va nel verso giusto, ma è due volte più grande

# Correzioni radiative e schemi di rinormalizzazione

In realtà, vanno applicate correzioni radiative a tutti gli accoppiamenti, e le relazioni tra questi e  $\theta_W$ , valide al *tree level*, vengono tutte modificate.

In pratica, sono possibili diversi schemi di rinormalizzazione, nei quali tipicamente si definisce una delle relazioni con  $\theta_W$  come la definizione di  $\theta_W$ , valida a tutti gli ordini, e si calcolano le correzioni a tutte le altre. In tal modo ogni misura definisce un valore di  $\theta_W$  che può essere confrontato direttamente con quelli derivanti dalle altre, e con i risultati di bassa energia.

Schema on-shell:

in questo schema si assume che la relazione

$$\frac{m_W^2}{m_Z^2 \cos^2 \theta_W} = \rho_0 = 1$$

sia valida a tutti gli ordini.

Schema  $\overline{MS}$ :

in questo schema si assume che  $\theta_W$  sia definito dal rapporto tra le costanti di accoppiamento alla massa dello Z

$$\sin \vartheta_W = \frac{g'(M_Z)}{\sqrt{g(M_Z)^2 + g'(M_Z)^2}}$$

# lo schema on-shell

Utilizzeremo lo schema on-shell che è adottato dal LEP-SLC electroweak Working Group.

In esso gli accoppiamenti al polo dello Z sono definiti da fattori di forma complessi:

$$\begin{aligned}\mathcal{G}_{Vf} &= \sqrt{\mathcal{R}_f} (T_3^f - 2Q_f \mathcal{K}_f \sin^2 \theta_W) \\ \mathcal{G}_{Af} &= \sqrt{\mathcal{R}_f} T_3^f.\end{aligned}$$

le cui parti reali (dominanti) possono essere scritte come:

$$\begin{aligned}\rho_f &\equiv \Re(\mathcal{R}_f) = 1 + \Delta\rho_{se} + \Delta\rho_f \\ \kappa_f &\equiv \Re(\mathcal{K}_f) = 1 + \Delta\kappa_{se} + \Delta\kappa_f\end{aligned}$$

dove le correzioni sono separate in correzioni della self-energia del propagatore e correzioni specifiche del flavour considerato.

Gli accoppiamenti effettivi possono essere definiti come:

$$\begin{aligned}\sin^2 \theta_{\text{eff}}^f &\equiv \kappa_f \sin^2 \theta_W && \text{in modo che:} \\ g_{Vf} &\equiv \sqrt{\rho_f} (T_3^f - 2Q_f \sin^2 \theta_{\text{eff}}^f) && \frac{g_{Vf}}{g_{Af}} = \Re\left(\frac{\mathcal{G}_{Vf}}{\mathcal{G}_{Af}}\right) = 1 - 4|Q_f| \sin^2 \theta_{\text{eff}}^f \\ g_{Af} &\equiv \sqrt{\rho_f} T_3^f,\end{aligned}$$

**N.B.**  $\theta_{\text{eff}}^f$  è molto vicino a  $\theta_{\text{MS}}$  (ma non coincide...)